

電力中央研究所 正会員 渡田 宏

1. 河川上中流部における玉石交りの砂礫河床のような、いかにも混合砂礫床では洪水時の流送砂は流量に応じて粒径の異なる砂礫が選択的に流送される。すなわち水流による擇流力が河床表面における最大粒の礫の限界擇流力をこえない範囲では流砂の粒度構成は河床のそれとは明らかに異なる筈である。このような選択流送によって洪水流砂量は場所的・時間的には著しく異なることがあらわれる。ある河川正断面での選択流送をしらべることは粒径別流砂量を求めるにほめならない。その計算方法は Einstein 式と並んで従来いくつか方法があるがその適合性には疑問がある。筆者は前回の講演会で Einstein 式における遮蔽係数が混合砂礫床では従来用いられていては値と異った値が得られることを報告したがここではさらに一般的に粒径別流砂資料から流砂式に含まれる係数値の変化について検討した。

2. 河床砂礫の擇流輸送に関する式は平衡状態で $g_{0i} = \frac{P_w}{b} \cdot \frac{f(d_i)}{d_i^2} \cdot \bar{U}_{sc}$ で表される。(Einstein 1950)。
 ここで P_w : 移動確率, w_i : 径 d_i の砂礫の重量, $\frac{f(d_i)}{d_i^2}$: d_i の表面に分布する割合, \bar{U}_{sc} : d_i の平均移動速度である。 $\bar{U}_{sc} = d_i u_*, \frac{P_w}{b} = d_i$ とすれば $g_{0i} = d_i \cdot \frac{f(d_i)}{d_i^2} u_* = d_i \cdot \frac{f(d_i)}{d_i^2} u_*$ (1) である。全流砂量を g_{0T} とすれば $g_{0T}/g_{0i} = f(d_i)$ は d_i が流砂中に含まれる割合である。(1) 式にこれを入れて d_i と d_{max} について比較すれば $d_{max}/d_i = \frac{f(d_i)}{f(d_{max})} \cdot \frac{f(d_{max})}{f(d_i)} \left(\frac{d_i}{d_{max}} \right)^2$ (2)。これから d_{max} の粒径別の相対値を求めることができる。擇流砂量式の基本形は $g_{0T} = \sigma \int C_b U_{sc} dy$ である。ここで σ は擇流層の厚さ, C_b は容積濃度である。 $\int C_b dy \propto (z - z_0) \bar{U}_{sc} u_*$ とすれば

$$g_{0T} = K(z - z_0) u_* = K(1 - \frac{z_0}{z}) u_* \quad (3)$$

(3) 式は粒径に関する制限を含まない粒径に固有なく成立つはずである。しかし砂礫の移動を支配する力関係は経年によって変化であろうし、また砂礫相互間の配置関係、流速時の接觸衝突の影響も観察出来ないといふれば、これらの影響は(1),(2)式においてその係数に含まれなければならぬ。このような粒径および粒度構成による係数変化の傾向をみるためにオノ園に示す粒度分布(実験)の移動率における流砂資料をみると擇流力に応じて流砂の粒度構成に明瞭な変化が認められる。(実験破綻)そこで(1), (2)から d_{max} を求めようとしたオノ園のようになつた。流砂実験における水理量、流砂量の測定値は実験条件や測定方法によって極めてバラキか大きいがオノ園は(2)式から相対値をもとめ、比較的歩調した測定値が得られたとみられ、 g_{0i} の測定値をえらんでその絶対値の変化傾向を示したものである。ここで A のクレープは平均径 1~2mm、最大径 2~3cm の移動率によるものであり、B のクレープは 平均径 10~20mm、最大径 30~40cm の移動率におけるものである。オノ園中 (0.2) と 1 を記入したものは北上川における $Q=1600m^3/s$, $u_*=11cm/s$ 時の観測値で $d_{max}=5cm \sim 4cm$ が静止した状態

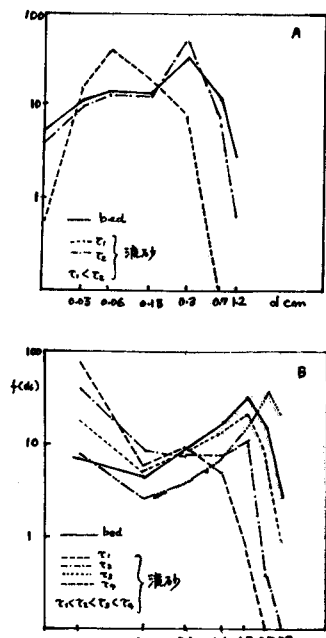


図-1. 移動率における流砂の粒度分布

における 0.2cm の保数値で建設省の実測資料によるものである。

d_3 は前に述べたように $K(T-T_c)$, $K(1-\frac{T}{T_c})$ である。また佐藤吉川・芦田式と比較すると K へ φ , $(1-\frac{T}{T_c}) \sim F$, ここで T_c は限界滞流力(図4)である。 d_3 はこれを含むから φ の増加とともに増加することだけが分かる。そこでオ2図に示す範囲で qF かどの程度の値をとるかを示す(オ3図)。これによれば A グループの実験範囲($U_0 < 11\%$)では qF はほぼ従来用いられた 11.3 値と同程度であり、また B グループでも $d = 7.6\text{cm}$ 以上につけたは同じであるが、B グループの $3.5 \sim 0.24\text{cm}$ の径のものでは $qF \sim q$ は従来用いられて 11.3 値より大きくなる傾向がみられる。

Bagnold(1956)によれば $K = AB^5/(g\rho g \cos \beta \bar{P})$ である。ここで $A = U_0^4/(4\pi^2 U_0^2 \rho g \cos \beta \bar{P})$ (4'の渦動粘性係数), B は抗力係数および流砂濃度、河床勾配 β に関係する。すなはち $d_3 \propto qF \sim K(1-\frac{T}{T_c})$ では滞流力に応じて増加するかこれに含まれる q , K は流砂濃度によって増加するか減少するかと考えられる。従ってオ3図では $qF \sim U_0$ の関係をしめしたが、実際には U_0 の増加による C_b の増加と $qF(q)$ の関係をしめすものであろう。

3. 上流域河川では淡水時に多量の細砂が流砂源から搬出され河道を流下することが多いとみられる。また河道表面の粒度構成は玉石、砾よりなり極めて粗いのが普通である。このうえ条件では流下する水流の含砂濃度が大きいため水流底面の見掛け流速の増加とともに、流速垂直強度が大きくなるために滞流力が増加し河床砂堆の輸送力を増加する。(吉川、福岡 T.S.S.C.E. No.125 July, 1968)。従ってこのような場合には d_3 あるいは q , K の値はオ2図、オ3図に示すものよりも大きくなると思われる。

運転流速を考慮して上流域河川の流れを推進するということは流砂源もしくは河道粒度分布、勾配、の影響を入れて河床流速能力を逐次しづらべることであるが実際には極めて困難である。ここでは図示した範囲での係数の変化傾向を知ることとするが、例えば A グループの曲線が外挿出来ないといふことに問題となる砂の最大輸送可能量を考慮して今後の一つの問題であろう。最後に流砂箇所の整理に際して、当所河川水理研究室石橋謙氏に御意見戴いた、附記して感謝する。

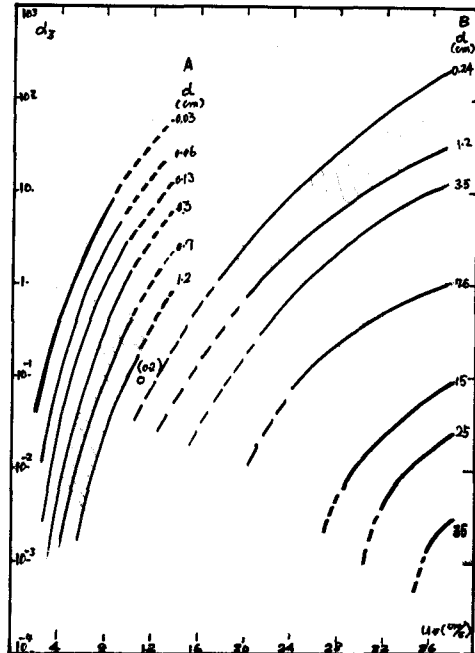


図-2. 各実験における保数値の変化

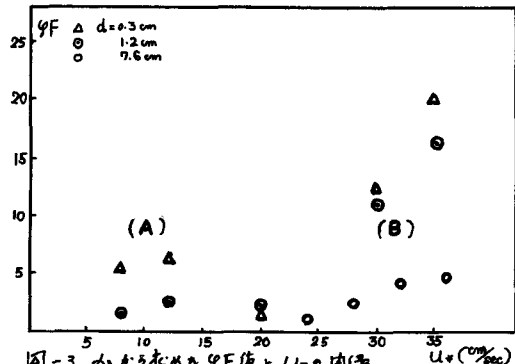


図-3. d_3 が 3 種類ある qF 値と U_0 の関係

